

POLITECHNIKA WROCŁAWSKA

INTELIGENCJA OBLICZENIOWA I JEJ ZASTOSOWANIA

Ćwiczenie 2
Metody redukcji wymiarowości
– nieujemna faktoryzacja macierzy
i dekompozycje tensorów

Autorzy:

Paweł ANDZIUL 200648
Robert CHOJNACKI 200685
Marcin SŁOWIŃSKI 200638

Prowadzący:

dr hab. inż. Rafał ZDUNEK

9 czerwca 2017

Spis treści

1	Zadanie 1	2
1.1	Algorytm ALS	2
1.2	Algorytm MUE	2
1.3	Algorytm HALS	2
1.4	Realizacja	2
1.5	Wyniki	3
2	Zadanie 2	3
3	Zadanie 3	4
3.1	Opis metody	4
3.2	Algorytm	4
3.3	Realizacja	5
3.4	Wyniki	8
4	Podsumowanie	12

1 Zadanie 1

Wygenerować faktory $A = [a_{ij}] \in R_+^{I \times J}$ i $X = [x_{jt}] \in R_+^{J \times T}$, gdzie $a_{ij} = \max(0, \tilde{a}_{ij})$ i $x_{jt} = \max(0, \tilde{x}_{jt})$ oraz $\tilde{a}_{ij}, \tilde{x}_{jt} \sim N(0, 1)$ (rozkład normalny). Wygeneruj syntetyczne obserwacje $Y = AX$ dla $I = 100, T = 1000, J = 10$. Stosując wybrane algorytmy NMF (ALS, MUE, HALS) wyznacz estymowane faktory \hat{A} i \hat{X} oraz unormowany błąd residualny w funkcji iteracji naprzemiennych. Oceń jakość estymacji stosując miary MSE (ang. Mean-Squared Error) lub SIR (ang. Signal-to-Interference Ratio).

1.1 Algorytm ALS

1.2 Algorytm MUE

1.3 Algorytm HALS

1.4 Realizacja

Listing 1: Skrypt z realizacją w środowisku MATLAB

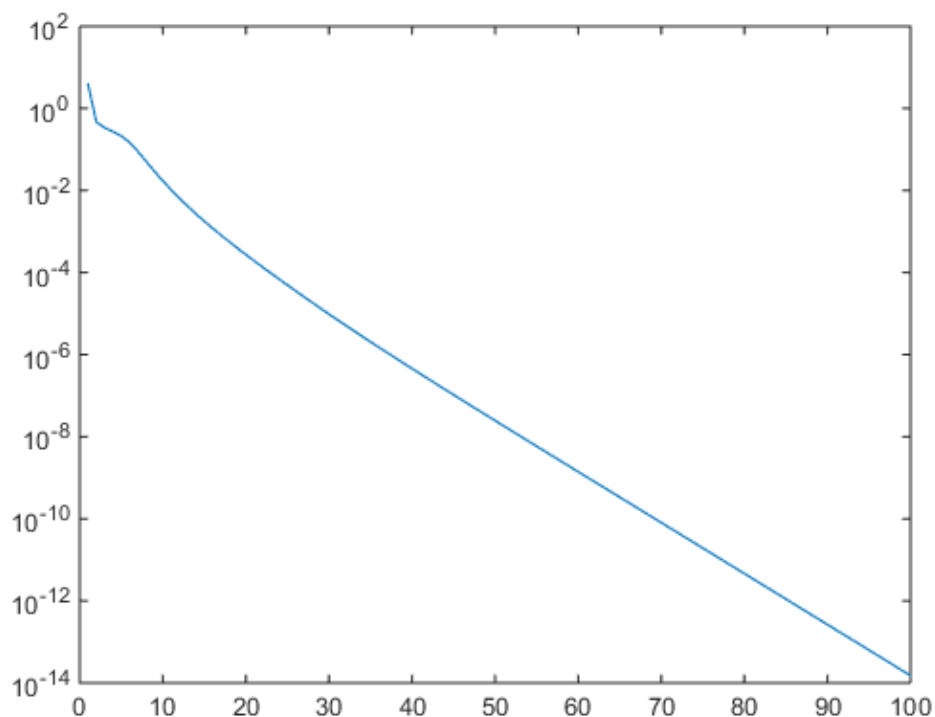
```
1 clear
2
3 % dane oryginalne
4 I = 100; T = 1000; J = 10;
5 Aw = max(0, randn(I, J));
6 Xw = max(0, randn(J, T));
7
8 Y = Aw*Xw;
9
10 % algorytm optymalizacji naprzemiennej (als)
11
12 % inicjalizacja
13 A = rand(size(Y, 1), J);
14 X = rand(J, size(Y, 2));
15
16 MaxIter = 100;
17
18 for k = 1:MaxIter
19
20     A = max(0, Y*X'*inv(X*X'));
21     A = A*diag(1./sum(A, 1));
22
23     X = max(0, inv(A'*A)*A'*Y);
24     res(k) = norm(Y - A*X, 'fro')/norm(Y, 'fro');
25
26 end
27
28 figure
29 semilogy(res)
```

```

30
31 % to samo ale z wykorzystaniem wbudowanej funkcji
32
33 rng(1) % for reproducibility
34 [W,H] = nnmf(Y,10);
35 D = norm(Y-W*H,'fro')/sqrt(I*T); % blad residualny (resztowy)
36
37
38 SIR = CalcSIR(Aw,A);
39
40 % ---- to co pisal na konsoli ----
41
42 Aws = Aw*diag(1./sum(Aw,1));
43 grid on
44 eps
45 Aws(1:5,:)

```

1.5 Wyniki



Rysunek 1: Wykres ilustrujący przebieg optymalizacji naprzemiennej

2 Zadanie 2

Wygenerować faktory..

3 Zadanie 3

Obrazy twarzy z bazy ORL (lub podobnej) przedstaw za pomocą tensora $Y \in \mathbb{R}^{I_1 \times I_2 \times I_3}$, gdzie I_3 jest liczbą obrazów. Rozdziel obrazy na zbiory trenujący i testujący według odpowiedniej zasady, np. 5-folds CV i utwórz odpowiednie tensory trenujący Y_r i testujący Y_t . Tensor trenujący poddaj dekompozycji CP (np. algorytmem ALS) oraz HOSVD dla $J = 4, 10, 20, 30$. Pogrupować obrazy stosując metodę k-średnich dla faktora $\hat{U}^{(3)}$. Badania przeprowadzić dla różnej liczby grup. Porównać dokładność grupowania z metodą PCA (z poprzedniego ćwiczenia). Następnie dokonaj projekcji obrazów z tensora Y_t na podprzestrzeń cech generowaną faktoremi otrzymanymi z Y_r . Dokonaj klasyfikacji obrazów w przestrzeni cech w $\hat{U}^{(3)}$ za pomocą klasyfikatora k-NN. Porównać efekty klasyfikacji różnymi metodami (np. PCA, CP, HOSVD).

3.1 Opis metody

3.2 Algorytm

3.3 Realizacja



Rysunek 2: Twarze wykorzystane podczas testów

Listing 2: Podstawowy skrypt z realizacją w środowisku MATLAB

```
1 clc;
2 clear;
3 close all;
4 load('FaceData_56_46.mat');
5
6 Persons = 8;
7 ImagesPerPerson = 10;
8 nOfImages = Persons*ImagesPerPerson;
9
10 % wczytanie danych do tensora
11 P = zeros(1,nOfImages);
12 Y=zeros(56,46,nOfImages);
13 img_index = 1;
14 for p=(1:Persons)
15     for i=(1:ImagesPerPerson)
16         P(img_index) = p;
```

```

17         Y(:,:,img_index) = FaceData(p, i).Image;
18         img_index = img_index + 1;
19     end
20 end
21 P = P';
22
23 figure;
24 subtitle('Twarze oryginalne');
25 for i=(1:nOfImages)
26     subplot(Persons, ImagesPerPerson, i);
27     imagesc(Y(:,:,i));
28     title(i)
29     colormap gray;
30     set(gca, 'XtickLabel', [], 'YtickLabel', []);
31 end
32
33 % rozdzielenie na dwa zbiory (5-folds CV)
34 CV = cvpartition(P, 'kfold', 5);
35 train_idx = CV.training(1);
36 test_idx = CV.test(1);
37
38 % utworzenie tensorow trenujacego i testowego
39 Y_train = Y(:,:,train_idx);
40 Y_test = Y(:,:,test_idx);
41 Class_train_idx = P(train_idx);
42 Class_test_idx = P(test_idx);
43
44 J_serie = [4 10 20 30];
45
46 res_rands = zeros(1,length(J_serie));
47 res_time_all = zeros(1,length(J_serie));
48 res_time_train = zeros(1,length(J_serie));
49 res_acc = zeros(1,length(J_serie));
50 res_delta = zeros(1,length(J_serie));
51 res_groups_kmeans = [];
52
53 for J_current=(1:length(J_serie))
54     J(1:3) = J_serie(J_current);
55
56     % dekompozycja hosvd (pod kmeansa)
57     tic
58     [A, B, C, G, Y_hat] = skrypt_zad3_hosvd(Y, J);
59     res_time_all(J_current) = toc;
60
61     figure;
62     subtitle(sprintf('Twarze zredukowane J=%d (HOSVD)', J_serie(J_current)));
63     for i=(1:nOfImages)
64         subplot(Persons, ImagesPerPerson, i);
65         imagesc(Y_hat(:,:,i));
66         title(i)
67         colormap gray;
68         set(gca, 'XtickLabel', [], 'YtickLabel', []);
69     end
70
71     % grupowanie metoda ksrednich dla faktora U^(3) - stala liczba grup (ilosc
       osob)

```

```

72 kmeans_result = kmeans(C, Persons);
73 res_groups_kmeans = [res_groups_kmeans kmeans_result];
74 [res_acc(J_current), res_rands(J_current), ~] = AccMeasure(P,
    kmeans_result');
75
76 % dekompozycja hosvd
77 tic
78 [Ar, Br, Cr, Gr, Yr_hat] = skrypt_zad3_hosvd(Y_train, J);
79 res_time_train(J_current) = toc;
80
81 % projekcja
82 Y3 = reshape(permute(Y_test,[3 1
    2]),size(Y_test,3),size(Y_test,1)*size(Y_test,2));
83 G3 = reshape(permute(Gr,[3 1 2]),[J(3),J(1)*J(2)]);
84 Ct = Y3*pinv(double(G3)*(kron(Br,Ar))');
85 Ct = Ct.*repmat(1./sqrt(sum(Ct.^2,2)+eps),1,size(Ct,2));
86
87 % klasyfikacja w przestrzeni cech  $U^{(3)}$ 
88 mdl_class = fitcknn(Cr,Class_train_idx,'NumNeighbors',1);
89 prediction = predict(mdl_class, Ct);
90
91 % dokladnosc klasyfikacji
92 res_delta(J_current) = 100*(length(find((prediction -
    Class_test_idx)==0))/length(Class_test_idx));
93
94 end

```

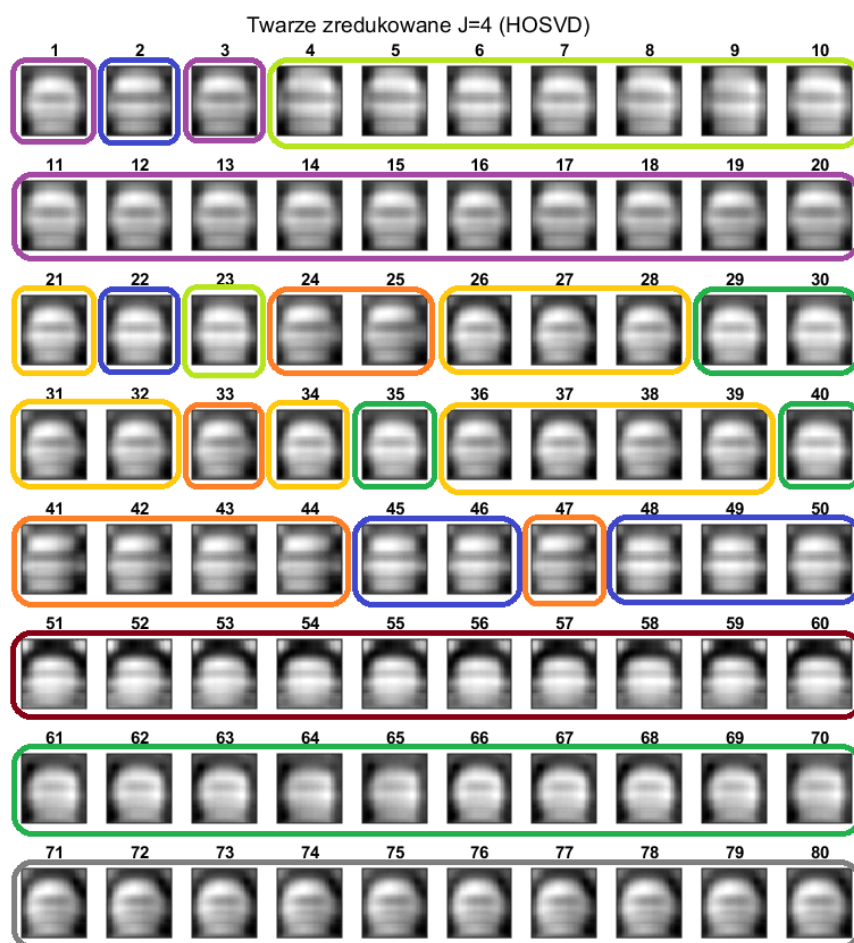
Listing 3: Funkcja realizująca algorytm HOSVD

```

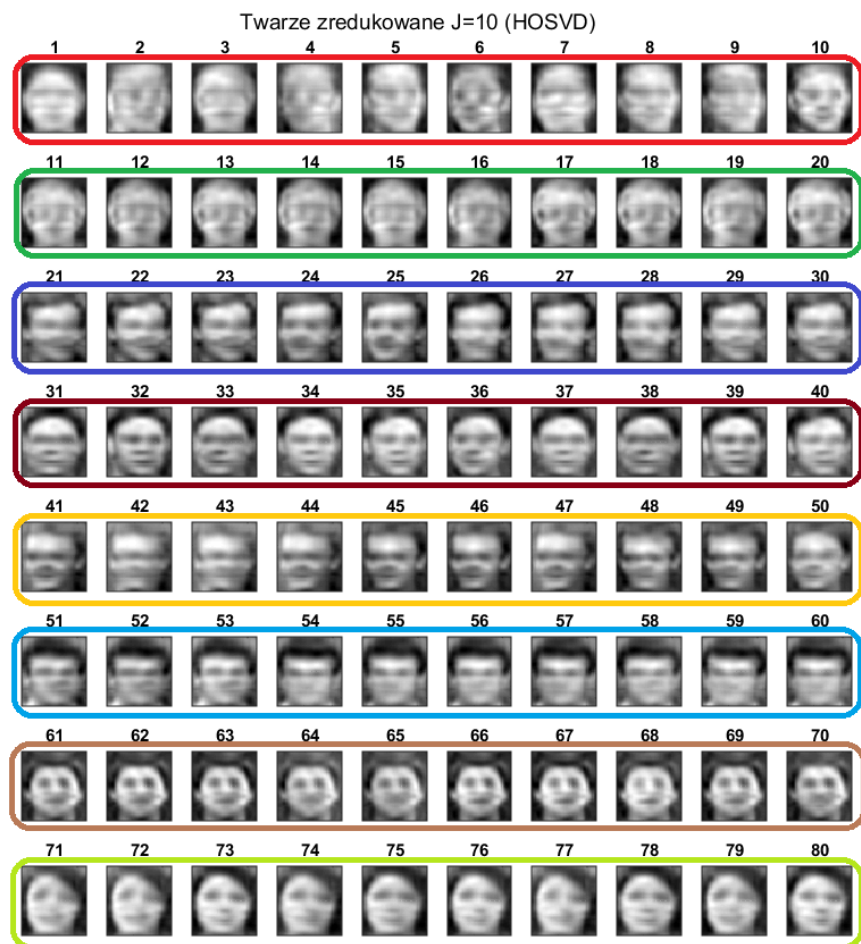
1 function [ A, B, C, G, Y_hat ] = skrypt_zad3_hosvd( Y, J )
2
3 DimY = size(Y);
4
5 % unfolding
6 Y1 = reshape(Y,DimY(1),DimY(2)*DimY(3));
7 Y2 = reshape(permute(Y,[2 1 3]),DimY(2),DimY(1)*DimY(3));
8 Y3 = reshape(permute(Y,[3 1 2]),DimY(3),DimY(1)*DimY(2));
9
10 % dekompozycja tensorow
11 [E1,~] = eig(Y1*Y1');
12 A = fliplr(E1(:,DimY(1)-J(1)+1:DimY(1)));
13
14 [E2,~] = eig(Y2*Y2');
15 B = fliplr(E2(:,DimY(2)-J(2)+1:DimY(2)));
16
17 [E3,~] = eig(Y3*Y3');
18 C = fliplr(E3(:,DimY(3)-J(3)+1:DimY(3)));
19
20 G = ntimes(ntimes(ntimes(Y,A',1,2),B',1,2),C',1,2); % core tensor
21 Y_hat = ntimes(ntimes(ntimes(G,A,1,2),B,1,2),C,1,2); % tensor 3-way
22
23 C = C.*repmat(1./sqrt(sum(C.^2,2)+eps),1,size(C,2));
24
25 end

```


3.4 Wyniki



Rysunek 3: Twarze zredukowane J=4 (HOSVD)



Rysunek 4: Twarze zredukowane J=10 (HOSVD)



Rysunek 5: Twarze zredukowane J=20 (HOSVD)



Rysunek 6: Twarze zredukowane J=4 (HOSVD)

W tabeli 1 zamieszczono otrzymane wartości metryk. Acc oraz Rand's index zostały policzone dla algorytmu k-średnich natomiast dokładność (delta) jest związana z klasyfikacją w przestrzeni cech $\hat{U}^{(3)}$ przy pomocy metody najbliższych sąsiadów.

Tabela 1: Otrzymane metryki dla różnych wartości parametru J

	4	10	20	30
Acc	76,25	100	80,00	63,75
Rand's index	92,56	100	93,04	84,56
delta	68,75	93,75	100	100

Jak możemy zauważyć metoda k-średnich daje najlepsze rezultaty dla J=10, zarówno mniej jak i więcej szczegółów w obrazie negatywnie wpływa na rezultat grupowania. W przypadku metody najbliższych sąsiadów jest inaczej – tutaj im bardziej szczegółowy obraz otrzyma ta metoda na wejściu tym lepsze będą rezultaty. Trzeba również pamiętać, że metoda k-średnich nie wymaga zbioru treningowego i uczącego.

4 Podsumowanie

..

Literatura

- [1] Dokumentacja środowiska MATLAB, <https://www.mathworks.com/>
- [2] Zdunek, Rafał, „Nieujemna faktoryzacja macierzy i tensorów : zastosowanie do klasyfikacji i przetwarzania sygnałów”, Oficyna Wydawnicza Politechniki Wrocławskiej, 2014
- [3] <http://www.sandia.gov/~tgkolda/TensorToolbox/index-2.6.html>
- [4] <http://www.esat.kuleuven.be/sista/tensorlab/>
- [5] <http://www.bsp.brain.riken.jp/TDALAB/>
- [6] <http://www.bsp.brain.riken.jp/~phan/>